

03

Капиллярные волны в трехслойной слоисто-неоднородной жидкости со свободной поверхностью

© С.О. Ширяева, А.И. Григорьев, Д.А. Завьялов

Ярославский государственный университет им. П.Г. Демидова,
150000, Ярославль, Россия
e-mail: shir@uniyar.ac.ru

(Поступило в Редакцию 13 октября 2015 г.)

Получено и проанализировано в области капиллярных волн имеющее бикубический вид дисперсионное уравнение для поверхностных и внутренних капиллярно-гравитационных волн в трехслойной жидкости со свободной поверхностью. Показано, что отношение амплитуд внутренних волн к амплитуде поверхностных весьма велико, если не принимать во внимание тривиальный режим „однородной жидкости“. Отношение амплитуд внутренних волн (порожденных разными поверхностями раздела сред) между собой может быть как больше единицы, так и меньше в зависимости от физических параметров системы; оно сильно зависит от плотностей слоев и от их толщин.

Введение

При создании многослойных покрытий в микротехнологии представляет интерес проблема исследования поверхностных и внутренних капиллярных волн в многослойной жидкости. Собственно, тема волнового движения в слоисто-неоднородной жидкости не является новой (см., например, [1–6]). Однако в большинстве проведенных исследований речь шла о гравитационных волнах в двухслойной жидкости и об эффекте „мертвой воды“, хотя в [6] упоминалось об экспериментах с трехслойной жидкостью. В [7–9] проведено исследование капиллярного волнового движения в двухслойной жидкости, а в [10–12] предпринято исследование гравитационных волн в трехслойной жидкости. Таким образом, в настоящее время проблема исследования капиллярных волн в трехслойной жидкости стала актуальной.

В технических и технологических приложениях основной интерес представляет область капиллярных волн в ситуации, когда имеется несколько поверхностей раздела, и контактирующие среды имеют конечную глубину, сравнимую с длинами рассматриваемых волн. Изучению особенностей капиллярных волновых движений в трехслойной жидкости со свободной поверхностью и посвящено данное исследование.

В целях сохранения общности проводимых рассуждений расчеты будут выполнены для капиллярно-гравитационных волн, что позволит использовать в качестве характерного линейного масштаба такую величину, как „капиллярная постоянная жидкости“, но численный анализ будет проведен именно для капиллярных волн.

Формулировка задачи

Рассмотрим задачу о волновом движении на плоских (в невозмущенном состоянии) границах раздела трех жидкостей со свободной поверхностью под влиянием капиллярной и гравитационной сил. Пусть нижняя из

жидкостей имеет бесконечную глубину, коэффициент поверхностного натяжения σ_3 и плотность ρ_3 ; средняя — толщину h_2 , коэффициент поверхностного натяжения σ_2 , плотность ρ_2 ; верхняя — толщину h_1 , коэффициент поверхностного натяжения σ_1 и плотность ρ_1 . Будем считать, что все жидкости идеальны и несжимаемы. Задача рассматривается в декартовой системе координат, где ось OZ направлена вертикально вверх, ось OX направлена в направлении распространения волн, а от координаты y волновое движение принимается не зависящим, что позволит избежать лишней громоздкости выкладок, но не уменьшит общности рассмотрения. Вектор ускорения свободного падения \mathbf{g} направлен противоположно \mathbf{e}_z — орту декартовой системы координат, координатная плоскость $z = 0$ которой совпадает с невозмущенной границей раздела нижней и средней жидкостей ($\mathbf{g} \parallel -\mathbf{e}_z$). Вектор нормали \mathbf{n} к невозмущенной плоской поверхности параллелен орту оси OZ : $\mathbf{n} \parallel \mathbf{e}_z$.

Примем, что при волновом возмущении границ раздела сред свободная поверхность верхней жидкости описывается уравнением $z = \xi_1(x, t) + (h_1 + h_2)$, где $\xi_1(x, t)$ — бесконечно малое отклонение поверхности верхней жидкости от невозмущенного уровня $z = h_1 + h_2$; уравнение границы раздела верхней и средней жидкостей будет иметь вид $z = \xi_2(x, t) + h_2$, где $\xi_2(x, t)$ — бесконечно малое отклонение границы раздела жидкостей от невозмущенного уровня $z = h_2$, а граница раздела средней и нижней жидкостей описывается уравнением $z = \xi_3(x, t)$, где $\xi_3(x, t)$ — бесконечно малое отклонение границы раздела жидкостей от невозмущенного уровня $z = 0$.

Величину $\max_{j \in \{1, 2, 3\}} |\xi_j(x, t)|$ — будем использовать в качестве малого параметра задачи.

Математическая формулировка задачи имеет вид

$$\operatorname{div} \mathbf{V}_j(x, z, t) = 0, \quad (j = 1, 2, 3), \quad (1)$$

$$\partial_t \mathbf{V}_j(x, z, t) + (\mathbf{V}_j(x, z, t) \cdot \nabla) \mathbf{V}_j(x, z, t) = -\frac{\nabla P_j(x, z, t)}{\rho_j} + \mathbf{g}, \quad (2)$$

$$z \rightarrow -\infty \quad \mathbf{V}_3(x, z, t) \rightarrow 0, \quad (3)$$

кинематические граничные условия

$$\begin{aligned} z = \xi_3(x, t) : \\ \mathbf{n} \cdot \mathbf{V}_3(x, z, t) = \mathbf{n} \cdot \mathbf{V}_2(x, z, t) = \partial_t \xi_3(x, t), \\ z = h_2 + \xi_2(x, t) : \\ \mathbf{n} \cdot \mathbf{V}_2(x, z, t) = \mathbf{n} \cdot \mathbf{V}_1(x, z, t) = \partial_t \xi_2(x, t), \\ z = h_1 + h_2 + \xi_1(x, t) : \\ \mathbf{n} \cdot \mathbf{V}_1(x, z, t) = \partial_t \xi_1(x, t), \end{aligned} \quad (4)$$

динамические граничные условия

$$\begin{aligned} z = h_1 + h_2 + \xi_1(x, t) : \\ P_1(x, z, t) - P_{\text{atm}} - P_{\sigma_1}(x, z, t) = 0, \\ z = h_2 + \xi_2(x, t) : \\ P_2(x, z, t) - P_1(x, z, t) - P_{\sigma_2}(x, z, t) = 0, \\ z = \xi_3(x, t) : \\ P_3(x, z, t) - P_2(x, z, t) - P_{\sigma_3}(x, z, t) = 0, \end{aligned} \quad (5)$$

где $P_j(x, z, t)$ — гидродинамические давления в верхней, средней и нижней средах соответственно; $P_{\sigma_j}(x, z, t)$ — давления сил поверхностного натяжения на j -ю поверхность раздела сред; P_{atm} — постоянное давление внешней среды. Символом обозначена частная производная по времени.

Скаляризация и линеаризация задачи

Будем решать задачу в линейном приближении по малому параметру. В модели потенциального течения скорости $V_j(x, z, t)$ представляются в виде

$$\mathbf{V}_j(x, z, t) = \nabla \Psi_j(x, z, t), \quad (j = 1, 2, 3), \quad (6)$$

где $\Psi_j(x, z, t)$ — гидродинамические потенциалы, имеющие тот же порядок малости, что и возмущения поверхностей $\xi_j(x, t)$.

Подставляя (6) в (1), получим уравнения Лапласа

$$\Delta \Psi_j(x, z, t) = 0, \quad (j = 1, 2, 3). \quad (7)$$

Интегрируя линеаризованные уравнения Эйлера (2), получаем выражения для гидродинамических давлений в средах

$$P_j(x, z, t) = -\rho_j \partial_t \Psi_j(x, z, t) - \rho_j g z + C_j, \quad (j = 1, 2, 3), \quad (8)$$

C_j — константы интегрирования.

Естественное граничное условие (3) примет вид

$$z \rightarrow -\infty : \quad \Psi_3(x, z, t) \rightarrow 0.$$

Преобразуя кинематические граничные условия (4) и сохраняя лишь слагаемые первого порядка малости, получим их в следующем виде:

$$\begin{aligned} z = 0 : \quad \frac{\partial \Psi_3(x, z, t)}{\partial z} &= \frac{\partial \xi_3(x, t)}{\partial t}, \\ \frac{\partial \Psi_2(x, z, t)}{\partial z} &= \frac{\partial \xi_3(x, t)}{\partial t}, \\ z = h_2 : \quad \frac{\partial \Psi_2(x, z, t)}{\partial z} &= \frac{\partial \xi_2(x, t)}{\partial t}, \\ \frac{\partial \Psi_1(x, z, t)}{\partial z} &= \frac{\partial \xi_2(x, t)}{\partial t}, \\ z = h_1 + h_2 : \quad \frac{\partial \Psi_1(x, z, t)}{\partial z} &= \frac{\partial \xi_1(x, t)}{\partial t}. \end{aligned} \quad (9)$$

Для преобразований динамических граничных условий (5) представим выражения для давлений в виде разложений по порядкам малости. В нулевом порядке малости получим балансы давлений на равновесных поверхностях, позволяющие получить константы интегрирования в выражениях (8):

$$C_1 = P_{\text{atm}} + \rho_1 g (h_1 + h_2),$$

$$C_3 = C_2 = P_{\text{atm}} + g(\rho_1 h_1 + \rho_2 h_2).$$

Балансы давлений в первом порядке малости с учетом того, что $P_{\sigma_j} = -\sigma_j \partial_{xx} \xi_j$, ($j = 1, 2, 3$), примут вид

$$\begin{aligned} z = 0 : \quad \rho_3 \partial_t \Psi_3(x, z, t) - \rho_2 \partial_t \Psi_2(x, z, t) \\ + g \xi_3(x, t) (\rho_3 - \rho_2) &= \sigma_3 \partial_{xx} \xi_3(x, t), \\ z = h_2 : \quad \rho_2 \partial_t \Psi_2(x, z, t) - \rho_1 \partial_t \Psi_1(x, z, t) \\ + g \xi_2(x, t) (\rho_2 - \rho_1) &= \sigma_2 \partial_{xx} \xi_2, \\ z = h_1 + h_2 : \quad \rho_1 \partial_t \Psi_1(x, z, t) + \rho_1 g \xi_1(x, t) \\ &= \sigma_1 \partial_{xx} \xi_1(x, t), \end{aligned} \quad (10)$$

Символом ∂_{xx} обозначена вторая частная производная по пространственной координате.

Дисперсионное уравнение и отношение амплитуд

Система уравнений (7) с граничными условиями (9), (10) представляет собой математическую формулировку анализируемой задачи в первом порядке малости по амплитудам волновых возмущений границ раздела сред.

Проекты решений уравнений Лапласа в декартовых координатах будут иметь вид

$$\Psi_1(x, z, t) = [A_1 \exp(kz) + B_1 \exp(-kz)] \exp(-ikx),$$

$$\begin{aligned}\Psi_2(x, z, t) &= [A_2 \exp(kz) + B_2 \exp(-kz)] \exp(-ikx), \\ \Psi_3(x, z, t) &= A_3 \exp(kz) \exp(-ikz).\end{aligned}\quad (11)$$

В аналогичном виде представим выражения для функций, описывающих возмущения равновесных границ раздела сред:

$$\begin{aligned}\xi_1(x, t) &= \alpha_1(t) \exp(-ikx), \\ \xi_2(x, t) &= \alpha_2(t) \exp(-ikx), \\ \xi_3(x, t) &= \alpha_3(t) \exp(-ikx),\end{aligned}\quad (12)$$

где $\alpha_j(t)$ — зависящие от времени неизвестные коэффициенты.

Удовлетворяя граничным условиям, получим выражения для гидродинамических потенциалов $\Psi_j(x, z, t)$ (см. (11)) через амплитуды $\alpha_j(t)$ из (12):

$$\begin{aligned}\Psi_1(x, z, t) &= \frac{\exp(-ikx)}{k \operatorname{sh}(kh_1)} [\alpha'_1(t) \operatorname{ch}(k(z - h_2)) \\ &\quad - \alpha'_2(t) \operatorname{ch}(k(z - h_2 - h_1))], \\ \Psi_2(x, z, t) &= \frac{\exp(-ikx)}{k \operatorname{sh}(kh_2)} [\alpha'_2(t) \operatorname{ch}(kz) \\ &\quad - \alpha'_3(t) \operatorname{ch}(k(z - h_2))], \\ \Psi_3(x, z, t) &= \frac{\alpha'_3}{k} \exp(kz) \exp(-ikx).\end{aligned}\quad (13)$$

Используя полученные решения для гидродинамических потенциалов $\Psi_j(x, z, t)$ (13) и выражения (12) для функций $\xi_j(x, z, t)$, преобразуем динамические граничные условия (10) и получим систему трех связанных обыкновенных дифференциальных уравнений относительно амплитуд $\alpha_j(t)$ ($j = 1, 2, 3$), описывающих временную эволюцию границ раздела сред:

$$\begin{aligned}\alpha''_1(t) \operatorname{ch}(kh_1) - \alpha''_2(t) + \alpha_1(t) \left(gk + \frac{\sigma_1 k^3}{\rho_1} \right) \operatorname{sh}(kh_1) &= 0, \\ \alpha''_3(t) \left(\frac{\rho_2}{\operatorname{sh}(kh_2)} \right) - \alpha''_2(t) [\rho_2 \operatorname{cth}(kh_2) + \rho_1 \operatorname{cth}(kh_1)] \\ &+ \alpha''_1(t) \left(\frac{\rho_1}{\operatorname{sh}(kh_1)} \right) - \alpha_2(t) (gk(\rho_2 - \rho_1) + \sigma_2 k^3) = 0, \\ \alpha''_3(t) [\rho_3 + \rho_2 \operatorname{cth}(kh_2)] - \alpha''_2(t) \left(\frac{\rho_2}{\operatorname{sh}(kh_2)} \right) \\ &+ \alpha''_3(t) (gk(\rho_3 - \rho_2) + \sigma_3 k^3) = 0\end{aligned}\quad (14)$$

Будем искать решение системы (14) в экспоненциальном виде

$$\alpha_j(t) \approx a_j \exp(i\omega t), \quad (j = 1, 2, 3), \quad (15)$$

a_j — независимые от времени коэффициенты.

В итоге получим систему линейных однородных алгебраических уравнений относительно коэффициентов a_j :

$$a_1 \left[\omega^2 \operatorname{ch}(kh_1) - \left(gk + \frac{\sigma_1 k^3}{\rho_1} \right) \operatorname{sh}(kh_1) \right] - a_2 \omega^2 = 0,$$

$$\begin{aligned}a_1 \omega^2 \frac{\rho_1}{\operatorname{sh}(kh_1)} - a_2 [\omega^2 (\rho_2 \operatorname{cth}(kh_2) + \rho_1 \operatorname{cth}(kh_1)) \\ - gk(\rho_2 - \rho_1) - \sigma_2 k^3] + a_3 \omega^2 \frac{\rho_2}{\operatorname{sh}(kh_2)} = 0, \\ a_2 \omega^2 \frac{\rho_2}{\operatorname{sh}(kh_2)} - a_3 [\omega^2 (\rho_3 + \rho_2 \operatorname{cth}(kh_2)) \\ - gk(\rho_3 - \rho_2) - \sigma_3 k^3] = 0.\end{aligned}\quad (16)$$

Условием существования нетривиальных решений системы (16) является обращение в нуль определителя матрицы, составленной из коэффициентов при неизвестных a_j , что позволяет получить бикубическое дисперсионное уравнение относительно частоты ω :

$$\begin{aligned}\omega^6 D_1(k, h, \rho_j) - \omega^4 D_2(h, k, \rho_j, \sigma_j) \\ + \omega^2 D_3(h, k, \rho_j, \sigma_j) - D_4(h, k, \rho_j, \sigma_j) = 0, \\ D_1 \equiv \rho_1 \{ \rho_2 \operatorname{ch}(h_1 k) [\rho_2 + \rho_3 \operatorname{cth}(h_2 k)] \\ + \rho_1 \operatorname{sh}(h_1 k) [\rho_3 + \rho_2 \operatorname{cth}(h_2 k)] \}, \\ D_2 \equiv \rho_1 \{ \rho_2 \operatorname{ch}(h_1 k) (\rho_3 [gk\rho_2 + k^3(\sigma_1 + \sigma_2)] \\ + \rho_2 [gk\rho_3 + k^3(\sigma_1 + \sigma_2 + \sigma_3)] \operatorname{cth}(h_2 k)) \\ - \operatorname{sh}(h_1 k) [gk\rho_1(\rho_1\rho_2 - \rho_2^2 - \rho_1\rho_3) - k^3(\rho_2^2\sigma_1 + \rho_1^2\sigma_3) \\ - \rho_2\rho_3(gk\rho_1 + k^3\sigma_1) \operatorname{cth}(h_2 k)] \}, \\ D_3 \equiv \{ \rho_1 (gk\rho_2 + k^3(\sigma_1 + \sigma_2)) (gk(\rho_3 - \rho_2) + k^3\sigma_3) \\ \times \operatorname{ch}(h_1 k) + (gk\rho_1 + k^3\sigma_1) [\rho_3 (gk(\rho_2 - \rho_1) + k^3\sigma_2) \\ + \rho_2 (gk(\rho_3 - \rho_1) + k^3(\sigma_3 + \sigma_2)) \operatorname{cth}(h_2 k)] \} \operatorname{sh}(h_1 k), \\ D_4 \equiv (gk\rho_1 + k^3\sigma_1) [gk(\rho_2 - \rho_1) + k^2\sigma_2] \\ \times [gk(\rho_3 - \rho_2) + k^3\sigma_3] \operatorname{sh}(h_1 k).\end{aligned}$$

Для того, чтобы проверить предельный переход к однородной жидкости, устремим $\rho_2 \rightarrow \rho_1, \rho_3 \rightarrow \rho_1, \sigma_2 \rightarrow 0, \sigma_3 \rightarrow 0$. В результате дисперсионное уравнение примет хорошо известный вид дисперсионного уравнения капиллярно-гравитационных волн на поверхности однородной бесконечно глубокой жидкости.

Для предельного перехода к двуслойной жидкости устремим $\rho_1 \rightarrow \rho_2, \sigma_2 \rightarrow 0$. В результате получим биквадратное уравнение, полностью совпадающее с уравнением, полученным ранее при анализе подобной задачи в [8].

Используя (15) и систему линейных однородных алгебраических уравнений (16), получим отношение амплитуд волн на границах раздела сред и на свободной

поверхности для каждого из трех решений дисперсионного уравнения, т. е. для частот $\omega_1(k)$, $\omega_2(k)$, $\omega_3(k)$:

$$\begin{aligned} \chi_{2,1} &\equiv \frac{\alpha_2}{\alpha_1} \equiv \frac{a_2}{a_1} = \frac{1}{\rho_1 \omega^2} \\ &\times [\rho_1 \omega^2 \operatorname{ch}(h_1 k) - (gk\rho_1 + k^3 \sigma_1) \operatorname{sh}(h_1 k)], \\ \chi_{3,1} &\equiv \frac{\alpha_3}{\alpha_1} \equiv \frac{a_3}{a_1} \\ &= \frac{[\rho_1 \omega^2 - (gk\rho_1 + k^3 \sigma_1) \operatorname{th}(h_1 k)]}{[\omega^2 (\rho_2 + \rho_3 \operatorname{th}(h_2 k)) - (gk(\rho_3 - \rho_2) + k^3 \sigma_3) \operatorname{th}(h_2 k)]} \\ &\times \frac{\rho_2 \operatorname{ch}(h_1 k)}{\rho_1 \operatorname{ch}(h_2 k)}, \\ \chi_{3,2} &\equiv \frac{\alpha_3}{\alpha_2} \equiv \frac{a_3}{a_2} \\ &= \frac{\rho_2 \omega^2}{[\omega^2 (\rho_2 + \rho_3 \operatorname{th}(h_2 k)) - (gk(\rho_3 - \rho_2) + k^3 \sigma_3) \operatorname{th}(h_2 k)]} \\ &\times \frac{1}{\operatorname{ch}(h_2 k)}. \end{aligned}$$

Численный анализ

Все численные расчеты проведем в безразмерных переменных, положив $g = \rho_1 = \sigma_1 = 1$.

Расчеты при $\rho_2 = 1.01$, $\rho_3 = 1.02$, $\sigma_2 = 0.01$, $\sigma_3 = 0.02$, $h_2 = 1.5$, $h_1 = 1$ показывают, что увеличение волнового числа k (т.е. уменьшение длины волны λ) приводит к увеличению всех частот. Причем первые два корня дисперсионного уравнения (ω_1^2 и ω_2^2) примерно одинаковы по величине, а третий корень (ω_3^2) на порядок больше. Толщина как верхнего h_1 , так и среднего h_2 слоев практически не влияет на значения частот, соответствующих второму и третьему корням, и слабо влияет на первый корень. Изменение же плотности среднего слоя ρ_2 в диапазоне значений от плотности верхнего слоя ρ_1 до плотности нижней жидкости ρ_3 в расчетах при $\rho_3 = 1.05$, $\sigma_2 = 0.01$, $\sigma_3 = 0.02$, $h_1 = 1$, $h_2 = 1.5$, $k = 1$ оказывает малозаметное влияние лишь на первый и второй корни дисперсионного уравнения, причем первый корень растет, а второй уменьшается с увеличением разности плотностей $(\rho_2 - \rho_1)$ и $\rho_3 - \rho_2$.

Следует отметить, что коэффициенты поверхностного натяжения границ раздела сред оценивались по правилу Антонова [13], согласно которому при коэффициентах поверхностного натяжения одной из двух контактирующих несмешивающихся жидкостей σ_a , а второй σ_b , коэффициент поверхностного натяжения границы их раздела σ_c будет равен:

$$\sigma_c \approx |\sigma_a - \sigma_b|.$$

Численные расчеты при $\rho_2 = 1.01$, $\rho_3 = 1.02$, $\sigma_2 = 0.01$, $\sigma_3 = 0.02$, $h_2 = 1.5$, $k = 1$ показывают, что для

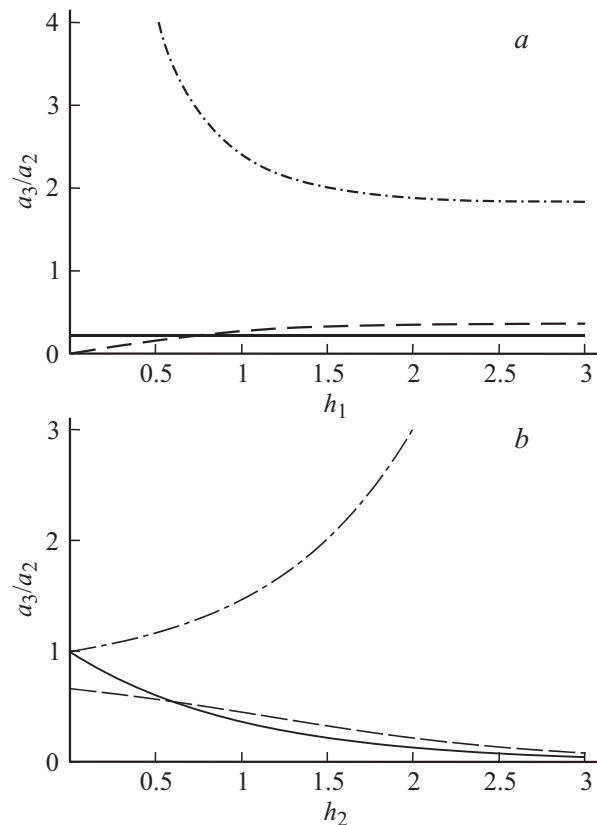


Рис. 1. *a, b* — зависимости отношения амплитуд внутренних волн a_3/a_2 от толщины верхнего и среднего слоев для трех корней дисперсионного уравнения ω_1 , ω_2 и ω_3 ; ω_1 — сплошная линия, ω_2 — штриховая, ω_3 — штрихпунктирная. Расчеты проводились при $\rho_2 = 1.01$, $\rho_3 = 1.02$, $\sigma_2 = 1.01$, $\sigma_3 = 0.02$, $k = 1$. *a*) Зависимость a_3/a_2 от толщины верхнего слоя h_1 , при $h_2 = 1.5$; *b*) зависимость a_3/a_2 от толщины среднего слоя h_2 , при $h_1 = 1.5$.

первого корня дисперсионного уравнения ω_1 амплитуды внутренних волн a_2 и a_3 меньше амплитуды a_1 волны, распространяющейся по свободной поверхности верхнего слоя, и соответствующие отношения $\chi_{2,1}$ и $\chi_{3,1}$ не превышают единицы. Это характерно для режима колебаний однородной среды, когда наличие стратификации жидкости никак не сказывается. В то же время для частот ω_2 и ω_3 амплитуды внутренних волн значительно превосходят амплитуду внешней волны ($\chi_{2,1}$, $\chi_{3,1} \sim 10^2$) и соответствуют так называемому режиму „внутренних волн“.

Исследование отношения амплитуд при $\rho_2 = 1.01$, $\rho_3 = 1.02$, $\sigma_2 = 0.01$, $\sigma_3 = 0.02$, $h_2 = 1.5$, $k = 1$ в зависимости от толщины h_1 верхнего слоя показывает, что для частоты ω_1 (т.е. в „режиме однородной жидкости“) увеличение до двух единиц приводит, как и следовало ожидать, к уменьшению относительных амплитуд внутренних волн a_2 и a_3 в пять раз примерно по гиперболическому закону. Соотношение между самими амплитудами остается практически неизменным. В режимах „внутренних волн“ (т.е. для частот ω_2 и ω_3) увеличение толщины h_1 до двух безразмерных единиц увеличивает

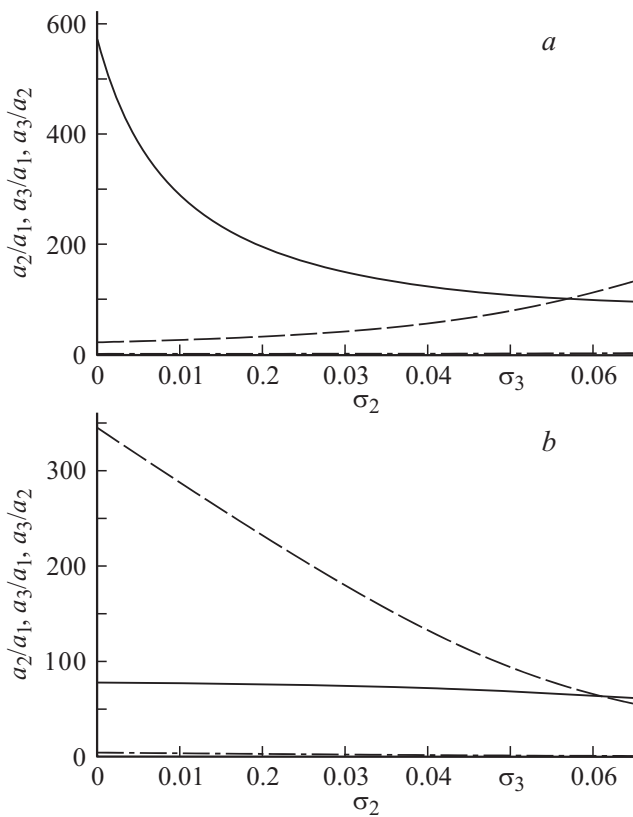


Рис. 2. a, b — зависимости отношения амплитуд волн от коэффициента поверхностного натяжения границы раздела верхнего и среднего слоев σ_2 для двух корней дисперсионного уравнения ω_2 и ω_3 , a_2/a_1 — сплошная линия, a_3/a_1 — штриховая линия, a_3/a_2 — штрихпунктирная линия. Расчеты проводились при $\rho_2 = 1.01$, $\rho_3 = 1.02$, $\rho_3 = 0.05$, $h_1 = 1$, $h_2 = 1.5$, $k = 1$. a — для ω_2 , b — для ω_3 .

относительные амплитуды этих волн по степенному закону примерно в 3 раза, причем для частоты ω_2 амплитуда a_2 превышает a_3 , а для частоты ω_3 ситуация обратная.

Увеличение толщины среднего слоя h_2 до двух безразмерных единиц для частоты ω_1 уменьшает лишь амплитуду a_3 , оставляя неизменной a_2 , что также является предсказуемым фактом. Для второго и третьего корней дисперсионного уравнения ситуация иная. Для ω_2 с ростом h_2 в указанном выше диапазоне $\chi_{2,1}$ и $\chi_{3,1}$ уменьшаются в 7-8 раз примерно по гиперболическому закону, причем $\chi_{2,1} > \chi_{3,1}$ в 3-4 раза. Для ω_3 отношение $\chi_{3,1}$ растет в 4 раза в указанном диапазоне, отношение $\chi_{2,1}$ незначительно увеличивается примерно по линейному закону. Иными словами, изменение толщины среднего слоя h_2 по-разному сказывается на амплитудах внутренних волн для частот ω_2 и ω_3 . В первом случае (для ω_2) обе амплитуды a_2 и a_3 уменьшаются с ростом h_2 , а во втором (для ω_3) — увеличиваются. Можно также отметить, что изменение параметра h_2 гораздо существеннее сказывается на a_3 — амплитуде волны на поверхности нижней жидкости.

На рис. 1, a, b , где представлены зависимости $\chi_{2,3}$ от толщин слоев h_1 и h_2 для всех трех частот ω_1 , ω_2 и ω_3 . Для режима „внутренних волн“ с частотой (штриховые линии) амплитуда „нижней“ волны a_3 меньше амплитуды a_2 : отношение $\chi_{3,2}$ не превосходит единицы при изменении как h_1 , так и h_2 . В режиме с частотой ω_3 (штрихпунктирные линии) амплитуда „более глубокой“ волны a_3 больше амплитуды a_2 . Для частот ω_1 и ω_2 отношение $\chi_{3,2}$ уменьшается с ростом h_2 . Это дает основание предположить, что частота ω_2 соответствует колебаниям, порождаемым границей раздела верхнего и среднего слоев, в то время как частота ω_3 характерна для колебаний, зарождающихся на границе раздела среднего слоя и нижней жидкости. Для ω_1 , т.е. для режима „сплошной среды“ (сплошные линии), отношение $\chi_{3,2}$ от толщины слоя h_1 не зависит, а с ростом h_2 медленно уменьшается от единицы примерно по гиперболическому закону. Для режима „внутренних волн“ с частотой ω_3 (штрихпунктирные линии) отношение $\chi_{3,2}$ от толщины слоя h_1 уменьшается примерно по гиперболическому закону, принимая значения больше двойки при $h_1 = 3$ и резко возрастающая при $h \rightarrow 0$. С ростом h_2 отношение $\chi_{3,2}$ увеличивается.

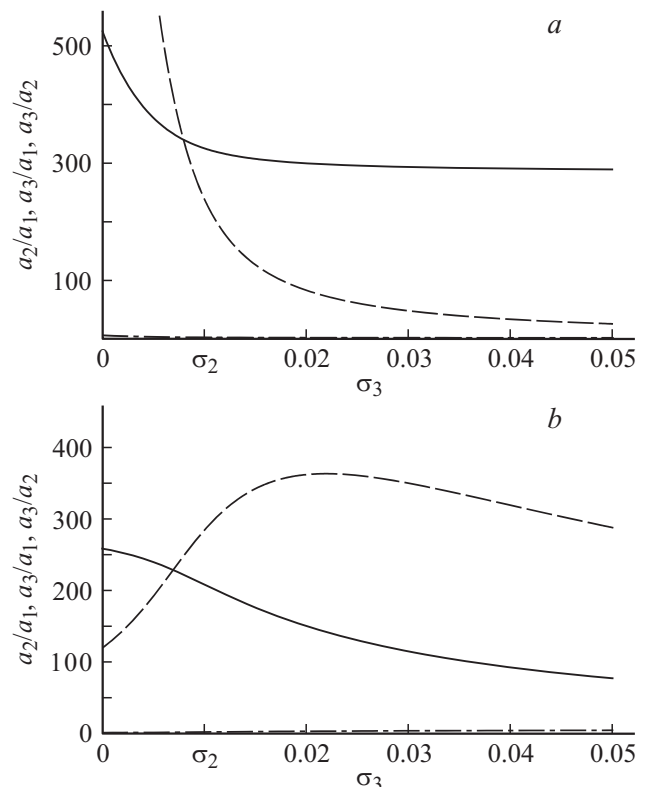


Рис. 3. a, b — зависимости отношения амплитуд волн от коэффициента поверхностного натяжения границы раздела среднего слоя и нижней жидкости σ_3 для двух корней дисперсионного уравнения ω_2 и ω_3 . Соответствие отношений амплитуд типам линий то же, что на рис. 2. Расчеты проводились при $\rho_2 = 1.01$, $\rho_3 = 1.02$, $\sigma_2 = 0.01$, $h_1 = 1$, $h_2 = 1.5$, $k = 1$. a — для ω_2 , b — для ω_3 .

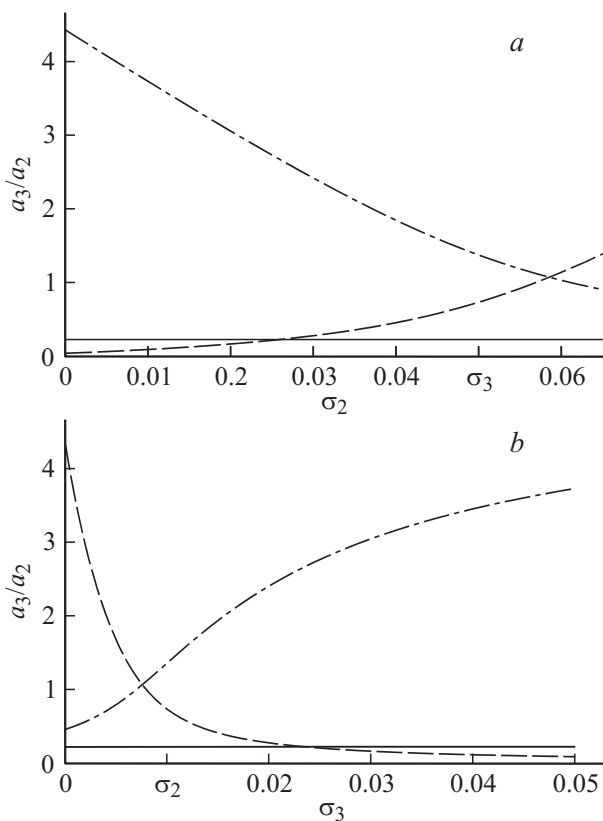


Рис. 4. *a, b* — зависимости отношения амплитуд внутренних волн от коэффициентов поверхностного натяжения границ раздела сред для трех корней дисперсионного уравнения ω_1 — сплошная линия, ω_2 — штриховая линия, ω_3 — штрихпунктирная линия. Расчеты проводились при $\rho_2 = 1.01$, $\rho_3 = 1.02$, $h_1 = 1$, $h_2 = 1.5$, $k = 1$. *a* — зависимость от σ_2 , когда $\sigma_3 = 0.05$, *b* — зависимость от σ_3 , когда $\sigma_2 = 0.01$.

На рис. 2, *a, b* и 3, *a, b* показаны зависимости амплитуд волн от коэффициентов поверхностного натяжения границы раздела верхнего и среднего слоев σ_2 и границы раздела среднего слоя и нижней жидкости σ_3 . Расчеты показывают, что изменение коэффициентов σ_2 и σ_3 не влияет на частоту режима „сплошной среды“ ω_1 , и отношения всех амплитуд остаются неизменными. В режимах „внутренних волн“ (т.е. для частот ω_2 и ω_3) отношение амплитуд $\chi_{2,1}$ убывает с ростом σ_2 и σ_3 . При этом в режиме с частотой ω_2 более существенное влияние оказывает изменение σ_2 , а в режиме с частотой ω_3 — изменение σ_3 . Влияние изменения коэффициентов поверхностного натяжения границ раздела сред σ_2 и σ_3 на отношение амплитуд $\chi_{3,1}$ различно для разных режимов „внутренних волн“. Для режима с частотой ω_2 при уменьшении σ_2 отношение $\chi_{3,1}$ убывает, а для режима с частотой ω_3 — растет (рис. 2). Уменьшение коэффициента σ_3 (рис. 3) в первом случае (для частоты ω_2) увеличивает отношение $\chi_{3,1}$, а во втором случае (для частоты ω_3) отношение $\chi_{3,1}$ зависит от σ_3 немонотонно, имея максимум.

На рис. 4, *a, b* представлены зависимости отношения амплитуд внутренних волн на нижней и средней границах $\chi_{3,2}$ от коэффициентов σ_2 и σ_3 для всех трех режимов (т.е. для частот ω_1 , ω_2 , ω_3). Несложно заметить, что в „режиме сплошной среды“ амплитуды волн на более глубокой поверхности a_3 меньше амплитуды волн на средней границе раздела a_2 , и изменение коэффициентов σ_2 и σ_3 на них никак не сказывается. В „режиме внутренних волн“ с частотой ω_2 отношение $\chi_{3,2}$ убывает с уменьшением σ_2 и растет с уменьшением σ_3 . Для режима с частотой ω_3 наблюдаются противоположные тенденции: увеличение $\chi_{3,2}$ при уменьшении σ_2 и убывание — при уменьшении σ_3 . Отметим, что отношение $\chi_{3,2}$ близко к единице при $\sigma_2 \approx \sigma_3$.

Заключение

Получено бикубическое дисперсионное уравнение относительно частоты ω , решения которого соответствуют трем режимам колебательных движений в рассматриваемой системе: режим „однородной жидкости“ и два режима „внутренних волн“, существование которых возможно лишь в стратифицированной жидкости. В режиме „однородной жидкости“ амплитуда волн убывает по мере углубления, поэтому волны на внутренних поверхностях раздела имеют меньшие амплитуды, чем волны на свободной поверхности. В режимах „внутренних волн“, характерных для слоисто-неоднородных жидкостей, проявляется эффект „мертвой воды“, когда амплитуда внутренних волн намного больше, чем на границе свободной поверхности. В ходе аналитического исследования данного эффекта показано, что он реализуется не только для гравитационных, но и для капиллярных волн.

Работа выполнена при поддержке гранта РФФИ № 14-01-00170-а.

Список литературы

- [1] *Сретенский Л.Н.* // Журн. геофизики. 1934. Т. 4. Вып. 3. С. 332–367.
- [2] *Сретенский Л.Н.* Теория волновых движений жидкости. М.: Наука, 1977. 815 с.
- [3] *Миндлин И.М.* Интегриродифференциальные уравнения в динамике тяжелой слоистой жидкости. М.: Наука, 1996. 298 с.
- [4] *La Rocca M., Sciortino G., Boniforti M.A.* // Nonlinear Oscillations. 2003. Vol. 6. N 2. P. 196–204.
- [5] *Hanyang Gu, Liejin Guo* // Progress in Natural Science. 2005. Vol. 15. N 11. P. 1026–1034.
- [6] *Mercier M.J., Vasseur R., Dauxois T.* // Nonlinear Processes in Geophysics. 2011. Vol. 18. N 2. P. 193–208.
- [7] *Daikhin L.I., Kornyshev A.A., Urbakh M.* // J. of Electroanalytical Chemistry. 2000. Vol. 483. P. 68–80.
- [8] *Григорьев А.И., Ширяева С.О., Федоров М.С.* // ЖТФ. 2010. Т. 80. Вып. 7. С. 8–17.

- [9] Григорьев А.И., Фёдоров М.С., Ширяева С.О. // ЖТФ. 2011. Т. 81. Вып. 11. С. 31–39.
- [10] Prabir Dasgupta. // Phys. of Fluids. 2008. Vol. 20. P. 112 101.01–112 101.11.
- [11] Kyung Sung Kim, Moo Hyun Kim. // Int. J. Offshore and Polar Eng. 2014. Vol. 24. N 2. P. 122–128.
- [12] Ширяева С.О., Григорьев А.И., Яковлева Л.С. // ЖТФ. 2015. Т. 85. Вып. 12. С. 40–44.
- [13] Рид Р., Шервуд Т. Свойства газов и жидкостей. Л.: Химия, 1971. 702 с.